

九州大学 工学部 学生員 ○川保 鶴久
 関東学院大学 工学部 正員 北野 義則
 九州大学 工学部 正員 萩谷 陽一

(1) 諸言 気泡噴流の応用例の1つとして、活性汚泥処理の曝気槽における散気が挙げられ、処理水への酸素供給と汚泥の沈殿防止のための旋回流の誘起を目的としている。現在用いられている主な散気装置として、細孔性散気装置と大孔性散気装置とかあり、後者装置の場合気泡噴流は点源から発生していると考えられる。本研究はその場合の散気効果を検討するために、単一点源から発生する3次元気泡噴流についてその流速分布と気泡密度分布を測定し、その実験結果より3次元気泡噴流の運動特性について考察を加える。さらに線源より発生する気泡噴流との比較検討の資料とするものである。

(2) 実験装置及び実験方法 実験水槽は、幅2m、深さ1m、奥行き40cm、全面アクリル製のものを用いた。エアコンプレッサーから減圧弁を通して空気を送り、水槽底に設置した内径15mmのステンレス管より気泡を発生させた。流速分布測定にはプロペラ径10mmのアロペラ流速計を用いた。また流速の変動が大きいために、一点に対し一方の測定を4~8回行ない、その平均より流速を求めた。気泡密度分布測定には、センサーとして先端を細くしたガラス管から直徑20μmの白金線をQ5mm出したものを用い、気泡との接触回数及び接触時間の累計を測定し、これをにより、平均気泡密度と平均気泡径を求めた。

(3) 実験結果 流速分布及び気泡密度分布の例を図1~2に示す。流速分布、気泡密度分布は、いずれもガラス分布に近い形をしていることがわかる。この分布が $U = U_{\text{exp}}(-\gamma r)$, $\sigma = \sigma_{\text{exp}}(+\gamma r)$ なる分布を持つと仮定し、実験結果を数値積分することによって U_{exp} と σ を求めると図3~6のようになる。

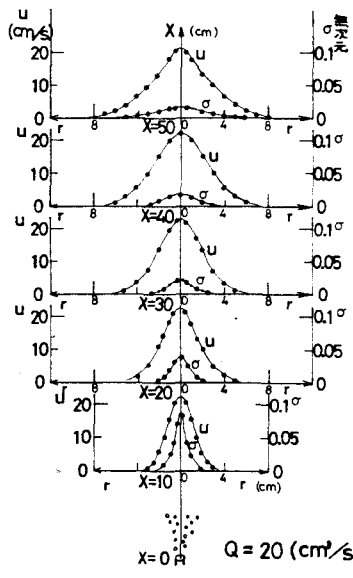


図-1

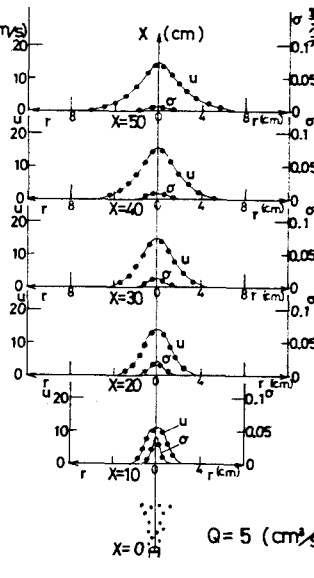
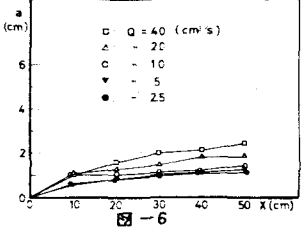
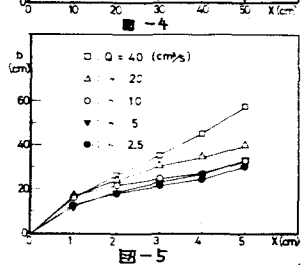
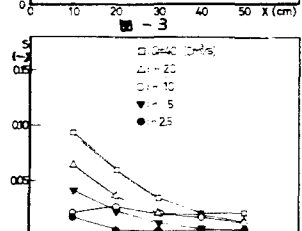
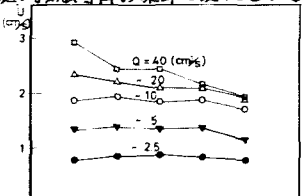


図-2



(4) 理論的検討 気泡噴出口を原点として図4のようない円筒座標系と流速をとる。水に対する $X(+)$ 方向の渦の相対速度を $U_b = (-\text{一定})$ 気泡密度を σ 、渦動粘性係数を γ 、渦動拡散係数を D とする。

噴流が軸対称であり、水平方向の平均流速は鉛直方向のそれを比べて十分小さいと考え、また簡単のためノン反応式は次の関数とすると、流体の連続方程式、N-S方程式及び拡散方程式は、それぞれ(1)～(3)のようになる。

$$\frac{\partial u}{\partial x} + \frac{1}{F} \frac{\partial}{\partial F}(r v) = 0 \quad (1), \quad u \frac{\partial u}{\partial x} + v \frac{\partial v}{\partial r} = 0 + \nu \frac{1}{F} \frac{\partial}{\partial F}(r \frac{\partial u}{\partial F}) \quad (2), \quad (u + U_b) \frac{\partial t}{\partial x} + v \frac{\partial t}{\partial r} = E \frac{1}{F} \frac{\partial}{\partial F}(r \frac{\partial t}{\partial F}) \quad (3)$$

U, v がガウス分布を持つと仮定し $U = U_{\text{exp}}(-t/b)$, $v = S \exp(-t/b)$ — (4) とおき、(1)式を(2)式に代入して v を消去し、両辺の 1 次及び 3 次モーメントを求めると運動量の式 $\frac{d}{dx}(U^2 b^2) = 2q_a S$ — (5) 及び $\frac{d}{dx}(v^2 b^2) = 2 \frac{S^2}{U b^2} (a^2 - \frac{b^2}{2}) + 2qbD$ — (6) を得る。(6)式の左辺は連行による噴流流量の増加を示し、右辺の第 2 項は噴流と同様の連行現象を表すものであり、 bU に比例すると言え $v = \frac{1}{b} qbD$ とおく。オーワークは浮力分布の連行現象に対する影響を示すものと考えられる。また(1)式を(3)式に代入し 1 次モーメントを求めると、上と同様に気泡の保存式 $\nu S a^2 (U_b + \frac{b^2}{a^2 + b^2} U) = Q$ — (7) が得られる。気泡の拡散幅は噴流の拡散幅に比べて小さいので、1 次流中の 2 次元拡散式 $\frac{\partial^2 t}{\partial x^2} = E \frac{1}{F} \frac{\partial}{\partial F}(r \frac{\partial t}{\partial F})$ に従うとして、これを代入する。 b として気泡の平均上界速度 $U_b + \frac{b^2}{a^2 + b^2} U$ を用い、さらに $E = \frac{1}{4} BUD$ とおくと気泡の中心濃度 a の変化を与える式 $(U_b + \frac{b^2}{a^2 + b^2} U) \frac{\partial a}{\partial x} = -B \frac{a^2}{U} S$ — (8) を得る。(5)(6)(7) 及び(8)を用いて、未知数 U, b, S, a を x の関数として求めることになる。気泡の相対速度が無視でき場合について、Schmidt³の結果と一致するように a と B の値を定め、さらに気泡の水に対する相対速度を 23 cm/s としたときの数値計算結果を図-8～11に示す。

(5) 考察

(i) Plume の場合中心流速は散気孔からの鉛直距離の $^{-1/2}$ 乗に比例するが、点源からの鉛直上向き気泡噴流の場合、逆に比べて流速変化が緩慢であり、送気量が小さい場合、散気孔に近い点では流速がむしろ遅くなっている。これは気泡の特有な運動によるものであると考えられる。また噴流の広がりが散気孔からの鉛直距離の増加とともに緩慢になつていても、Plume と著しく異なる。理論的解析結果は定性的にはこれらを踏ましているが、十分な一致を得るには至らなかった。

(ii) 従来の研究結果より、2 次元気泡噴流の場合、気泡の相対速度を考慮しても、噴流の中心流速及び噴流幅の広がり角度は、散気孔からの鉛直距離によらず一定であることわかつている。³ しかし 3 次元気泡噴流の場合、中心流速、ひろがり角度がともに減少している。したがつて 3 次元気泡噴流の場合、散気孔の直上において噴流が非常に大きな流速をもつために、散気効果及び流体に運動量を与える効果のいざれもが、2 次元の場合に対してかなりの効率の減少を伴うと考えられる。

(iii) 理論的な取扱いについては、単に気泡と周囲の流体との相対速度を考えるだけでなく、気泡特有の運動をより正確に捉え必须があるものと考えられる。またこれから課題として、散気孔を改良して気泡径をより均一に、しかも小さくして実験を行なつてゆく所存である。

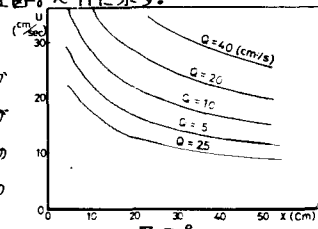


図-8

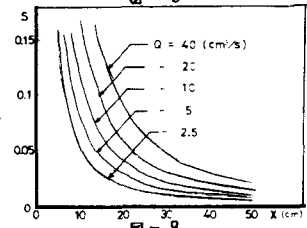


図-9

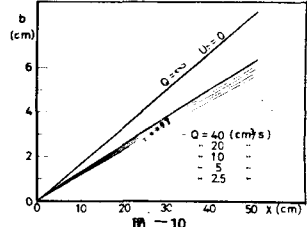
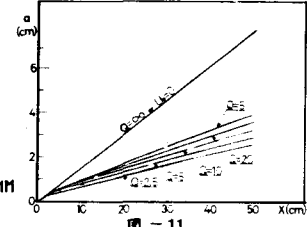


図-10



$a = 0.1031, B = 0.1267, U_0 = 23 \text{ cm/s}$

(参考文献)

²⁾ Schmidt, W : Turbulente Ausbreitung eines Stromes erhitzter Luft, ZAMM He. 21, 351, 1941

³⁾ 藤谷陽一, 北野義則, 田中經彦 : 静水中における気泡噴流の性質